

# СПЕКТРОСКОПИЧЕСКОЕ ИЗМЕРЕНИЕ ЭЛЕКТРОННОЙ ПЛОТНОСТИ ПЛАЗМЫ "ГОРЯЧЕЙ ТОЧКИ" МАЛОИНДУКТИВНОЙ ВАКУУМНОЙ ИСКРЫ

*Э. Я. Кононов, Е. Н. Кошелев, У. И. Сафонова,  
Ю. В. Сидельников, С. С. Чурилов*

Перераспределение интенсивностей сателлитов к резонансным линиям Не-подобных ионов Ca и Ti вследствие переноса возбуждения между автоионизационными состояниями за счет электронных соударений использовано для определения электронной плотности "горячей точки" МВИ. Показано, что при нагреве плазмы до температур  $\sim 1 - 1,5$  КэВ ее электронная плотность составляет  $\sim 10^{23} \text{ см}^{-3}$ .

**1.** Разряд в малоиндуктивной вакуумной искре (МВИ), впервые описанный Коэном и др. [1], позволяет нагревать плазму до электронной температуры  $T_e = 5 - 10$  КэВ [2]. Несомненный интерес представляют данные об электронной плотности "горячей точки" МВИ ( $n_e$ ) и, тем более, о ее динамике. Имеющиеся результаты ( $n_e \sim 10^{21} + 10^{22} \text{ см}^{-3}$ ) получены на основании интегральных характеристик разряда и не дают представления о его развитии во времени. Измерения Грима и др. [3] по уширению спектральных линий H- и Не-подобных ионов Mg и Al с потенциалом ионизации  $E_i \sim 2$  КэВ относятся, по-видимому, к той фазе нагрева микропинча МВИ, когда температура плазмы достаточна для возбуждения этих ионов,  $T_e \sim 0,5$  КэВ. Вопрос, как изменяется плотность плазмы при ее дальнейшем нагреве, является принципиальным при построении детальной теории явления микропинчевания в МВИ.

**2.** Для измерения  $n_e$  на более поздней стадии нагрева мы использовали спектры резонансных переходов  $1s^2 - 1s 2p$  Не-подобных ионов Ca ( $E_i \sim 5,1$  КэВ) и Ti ( $E_i \sim 6,3$  КэВ) и их сателлитов  $1s^2 2l - 1s 2l 2l'$  в Li-подобных ионах. В основе метода измерения лежит тот факт, что в достаточно плотной плазме за счет электрон-ионных соударений происходит перенос возбуждения между автоионизационными состояниями  $1s 2l 2l'$ , приводящий к перераспределению интенсивностей сателлитов в спектре. Аналогичный эффект для сателлитов линии  $L_a$  обсуждается в [4]. Очевидно, что наиболее чувствительными к плотности будут линии, испускаемые при переходах с уровней, обладающих двумя качествами: 1) вероятность радиационного распада  $A >> \Gamma$  — вероятности автоионизации; 2) имеется связь посредством столкновений с состояниями, для которых  $\Gamma >> A$ , так что их заселенность сравнительно высока и определяется уравнением Саха — Больцмана.

Расчет зависимости относительных заселенностей всех 16 автоионизационных уровней Li-подобных ионов и интенсивностей сателлитов от  $n_e$  проводился путем решения системы уравнений баланса с учетом столкновительных переходов между конфигурациями  $1s 2s^2$ ,  $1s 2s 2p$  и  $1s 2p^2$ :

$$N_j (A_j + \Gamma_j + n_e \sum_{i=1}^{16} a_{ji}) - n_e \sum_{i=1}^{16} N_i a_{ij} = g_j \Gamma_j N_i. \quad (1)$$

где  $i = 1, \dots, 16$ ,  $a_{kl}$  — квазиклассическое усредненное сечение столкновительного перехода  $k \rightarrow l$  [5]. Для расчета интенсивностей сателлитов с внутриоболочечным возбуждением правые части (1) заменялись на  $\langle V \sigma \rangle_j$  — сечение возбуждения уровня  $j$  из основного состояния [6].

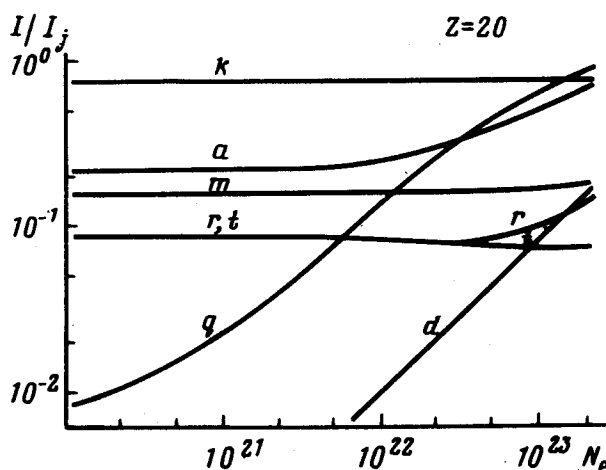


Рис.1. Зависимость интенсивностей сателлитов резонансной линии Не-подобного иона от электронной плотности

Результаты расчета для наиболее интенсивных сателлитов приведены на рис.1. Видно, что наиболее чувствительным к плотности оказался сателлит  $q$  — переход с уровня  $2s\ 2p\ (^3P)\ 1s^2\ P_{3/2}$ , дополнительно возбуждаемого за счет столкновительных переходов с уровня  $1s\ 2s\ ^2S_{1/2}$ .

3. Спектры Не- и Не-подобных ионов Ca и Ti были зарегистрированы с помощью рентгеновского кварцевого кристаллического спектрографа ( $2d = 6,67 \text{ \AA}$ ) со спектральным разрешением  $\sim 5 \cdot 10^{-4} \text{ \AA}$  при использовании ранее описанной [7] установки МВИ. Спектр ионов Ca XVIII и Ca XIX в области  $3,16 - 3,22 \text{ \AA}$  приведен на рис.2 (сплошная линия). Там же представлены результаты процедуры подбора параметров плазмы, проведенного с целью наилучшего описания экспериментального спектра при помощи теоретических данных (пунктирные линии). Подбор осуществлялся оптимизацией относительных вкладов диэлектронного и ударного механизмов возбуждения уровней при различных значениях  $n_e$ . Оптимальная полуширина одиночной линии, используемая при расчетах, равнялась вместе с аппаратной функцией  $2,1 - 10^{-3} \text{ \AA}$ , при этом результат слабо зависел от формы линии (дисперсионной или допплеровской). Видно, что наибольшие различия между оптимальным теоретическим спектром при низкой плотности  $n_e \leq 10^{20} \text{ см}^{-3}$ , кривая 1) и экспериментом имеет место вблизи сателлита  $q$ . Соответствующая разница интенсивностей,  $I_1 - I_E$ , приведена на рис. 2 над спектром. Наилучшим образом экспериментальный спектр описывается теоретической кривой при  $n_e = 10^{23} \text{ см}^{-3}$  (кривая 4), причем вычисленные из вкладов различных механизмов возбуждения автоионизационных уровней значения электронной и ионизационной температур равны:  $T_e = 1050 \text{ эВ}$ ,  $T_z = 700 \text{ эВ}$ . Аналогичная процедура для спектра Ti дает величину  $n_e = 2 \cdot 10^{23} \text{ см}^{-3}$  при  $T_e = 1450 \text{ эВ}$  и  $T_z = 870 \text{ эВ}$  (об. определении  $T_e$ ,  $T_z$  см., например, [8]). Столь высокие значения  $n_e$  позволяют, по-видимому, объяснить аномально большую ширину резонансных линий Не-подобных ионов тяжелых элементов в спектрах МВИ [9].

Полученный результат наиболее чувствителен к точности вычисления сечений столкновительных переходов  $a$  ( $1s\ 2s\ ^2S_{1/2} - 2s\ 2p\ (^3P)$   $\times$   $1s\ ^2P_{3/2}$ ), поэтому мы приводим соотношение для произведения  $n_e a \sim 5 \cdot 10^{13}$  сек $^{-1}$  в Ca, позволяющее уточнить значение  $n_e$  при повышении точности расчётов сечений.

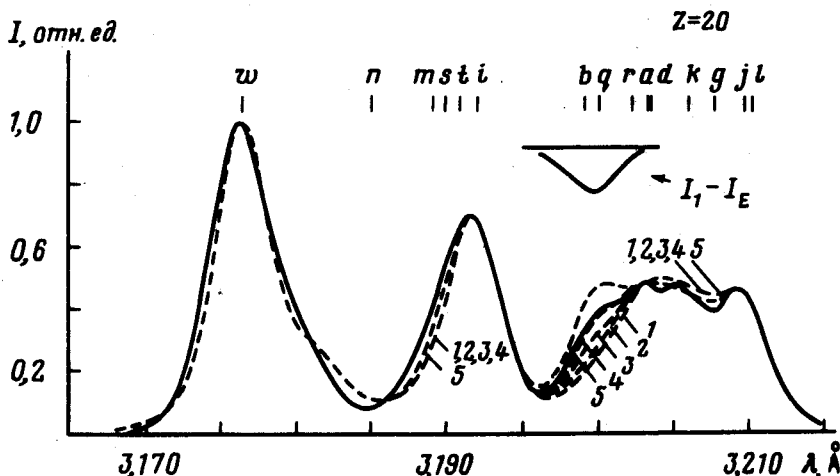


Рис.2. Спектр сателлитов резонансной линии Ca XIX: — — эксперимент, - - - расчет ( $1 - n_e \leq 10^{20}$  см $^{-3}$ ,  $2 - 10^{22}$  см $^{-3}$ ,  $3 - 3 \cdot 10^{22}$  см $^{-3}$ ,  $4 - 10^{23}$  см $^{-3}$ ,  $5 - 3 \cdot 10^{23}$  см $^{-3}$ )

4. Для проверки используемой методики мы воспользовались денситограммами аналогичных спектров в лазерной плазме [4]. Проведенные оценки показывают, что интенсивность сателлита  $q$  в этих спектрах соответствует плотности  $n_e \sim 10^{21}$  см $^{-3}$ , что согласуется с данными других методик.

Таким образом, результаты проведенных измерений показывают, что нагрев плазмы "горячей точки" МВИ до температур  $1, \dots, 1,5$  КэВ сопровождается увеличением электронной плотности до величин порядка  $10^{23}$  см $^{-3}$ .

Институт спектроскопии  
Академии наук СССР

Поступила в редакцию  
18 марта 1980 г.

### Литература

- [1] L.Cohen, V.Feldman, M.Swartz, T.H.Underwood. J. Opt. Soc. Am., 58, 843, 1968.
- [2] Е.Д.Короп, Б.Э.Майерович, Ю.В.Сидельников, С.Т.Сухоруков. УФН, 129, 87, 1979.

- [3] R.U.Datla, H.R.Griem, Phys. Fluids, 21, 505, 1978.
  - [4] V.A.Boiko, A.Ya.Faenov, S.A.Pikuz. J.Quant. Spectr. Rad. Transfer, 19, 11, 1978.
  - [5] Л.А.Вайнштейн, И.И.Собельман, Е.А.Юков. Возбуждение атомов и уширение спектральных линий. М., 1979.
  - [6] U.I.Safranova, A.M.Urnov, L.A.Vainstein. Preprint Lebedev Physical Institute, N 212, 1978.
  - [7] Э.Я.Кононов, К.Н.Кошелев, Ю.В.Сидельников. Физика плазмы, 3, 663, 1977.
  - [8] Л.П.Пресняков. УФН, 119, 49, 1976.
  - [9] W.A.Cilliers, R.U.Datla, H.R.Griem. Phys. Rev., A12, 1408, 1975.
-